

Ежегодная международная научно-практическая конференция
«РусКрипто'2022»

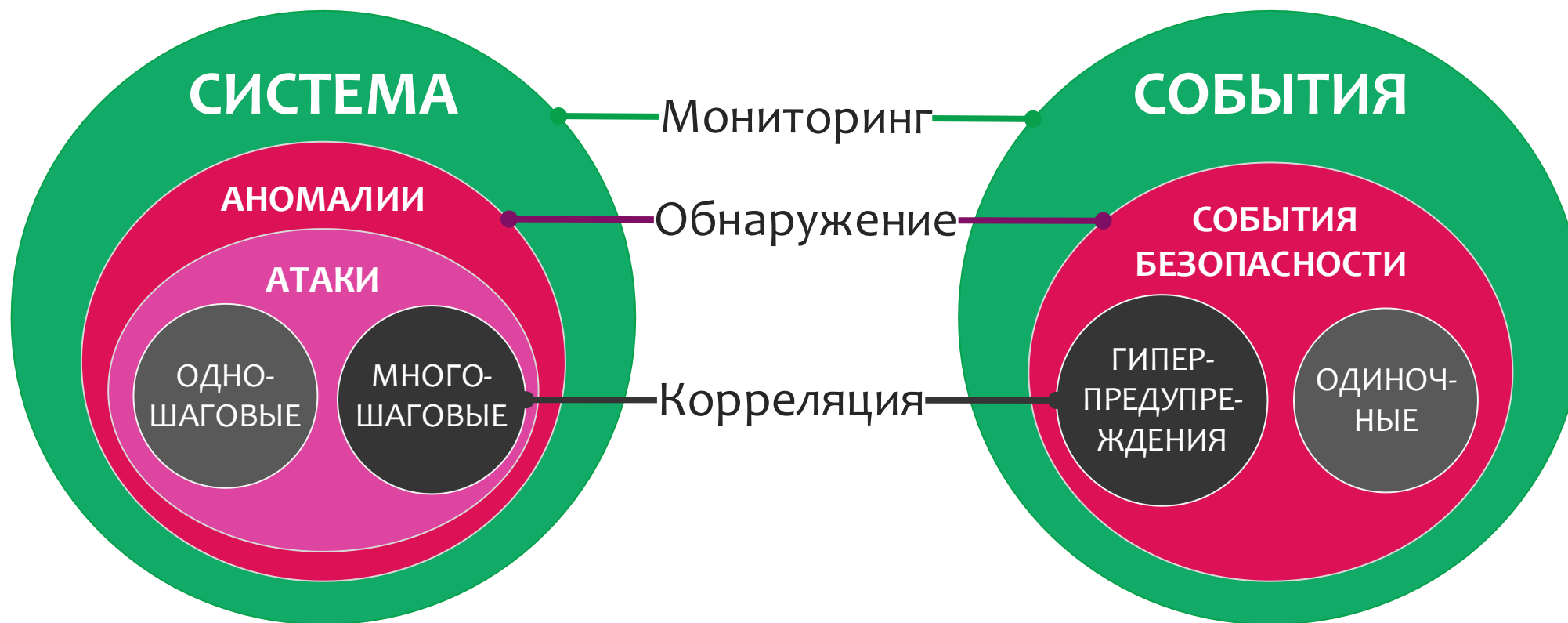
Интеллектуальные методы корреляции событий кибербезопасности

Котенко Игорь Витальевич, д.т.н., профессор, СПб ФИЦ РАН
Гайфулина Диана Альбертовна, аспирант, СПб ФИЦ РАН

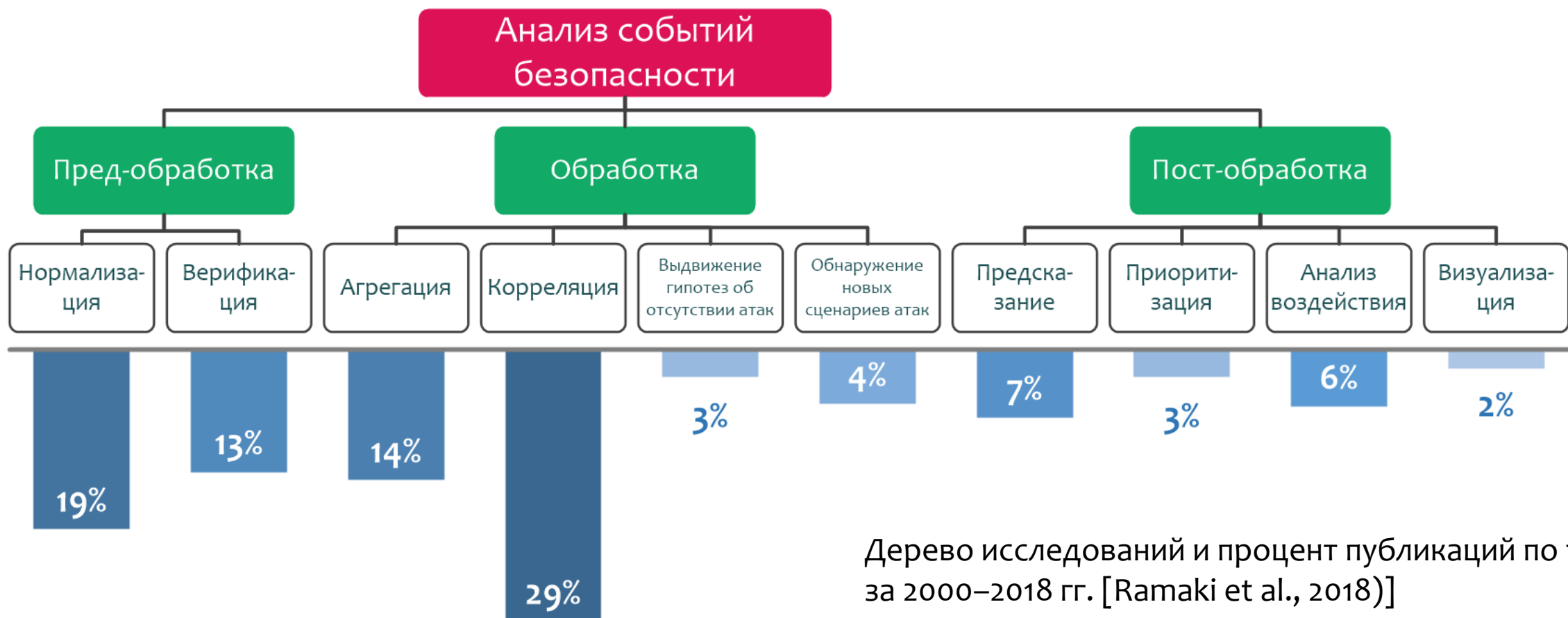
Содержание

1. Введение
2. Релевантные исследования
3. Методы корреляции событий кибербезопасности
4. Основные результаты и дискуссия
5. Контактная информация

Управление событиями безопасности и обнаружение атак

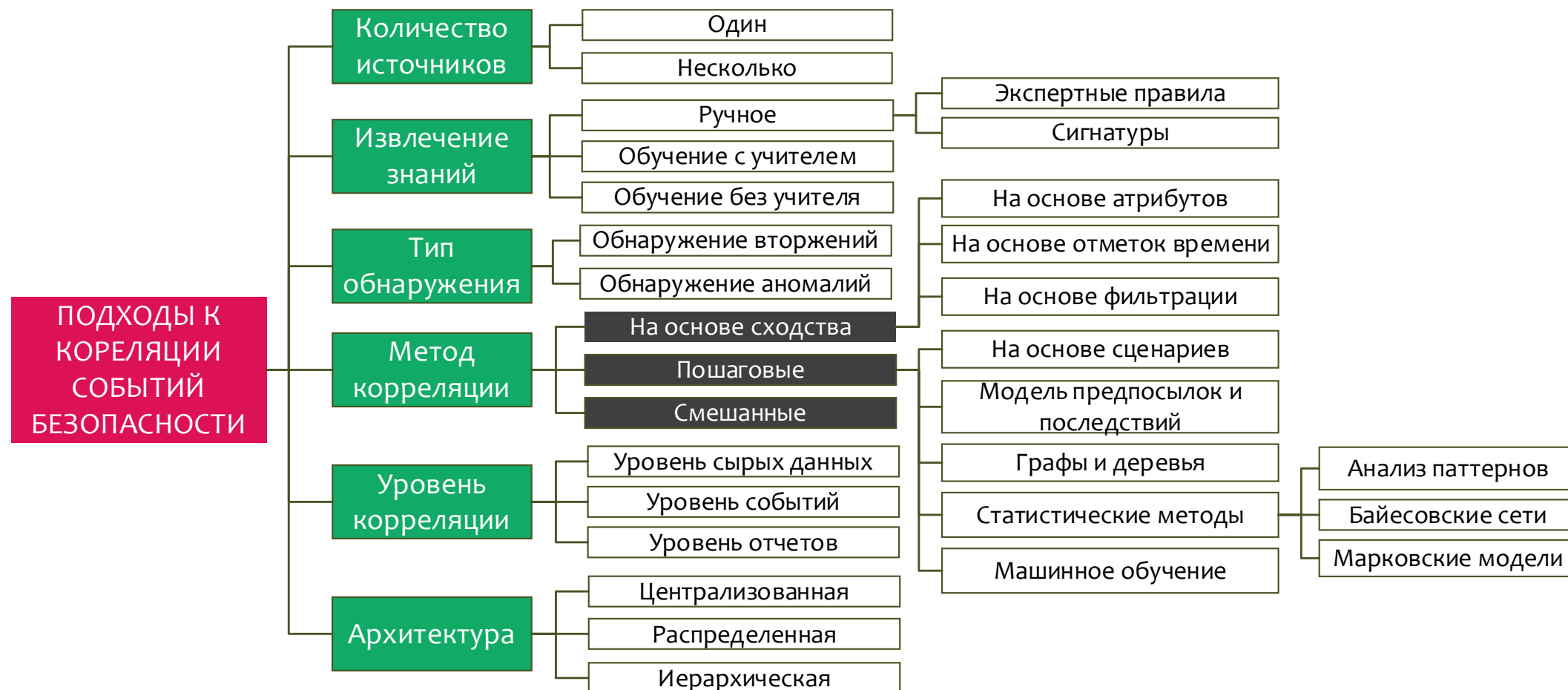


Темы исследований в области анализа событий безопасности



Дерево исследований и процент публикаций по теме за 2000–2018 гг. [Ramaki et al., 2018)]

Подход к классификации методов корреляции в релевантных исследованиях



Методы корреляции на основе сходства – Модель обнаружения аномалий на основе корреляции (1/2)

Источник: **Hostiadi et al. (2019)**

Поток трафика (FT) – это набор предупреждений, состоящий из:

$$FT = \{ft_1, ft_2, \dots, ft_j\}, ft = \{(srcIP, dstIP, sport, dport, pcl, lgh, cnt)\},$$

где $srcIP$ – IP-адрес источника, $dstIP$ – IP-адрес назначения, $sport$ – адрес порта источника, $dport$ – адрес порта назначения, pcl – протокол, lgh – длина, cnt – количество.

Сходство IP-адреса – это полное сходство между $(srcIP_{ft_i}, srcIP_{ft_j})$ и $(dstIP_{ft_i}, dstIP_{ft_j})$, где сходство IP-адреса рассчитывается по формуле:

$$sim(IP_i, IP_j) = bm/\sigma,$$

где bm – количество совпадений битов двух сравниваемых IP-адресов, а σ – общая длина IP-адреса в битах.

Сходство адреса порта – это полное сходство между $(sport_{ft_i}, sport_{ft_j})$ и $(dport_{ft_i}, dport_{ft_j})$:

$$sim(port_{ft_i}, port_{ft_j}) = 1, \text{ если } port_{ft_i} = port_{ft_j}, \text{ или } 0, \text{ если } port_{ft_i} \neq port_{ft_j}.$$

Сходство длины – это сходство между (lgh_{ft_i}, lgh_{ft_j}) :

$$sim(lgh_{ft_i}, lgh_{ft_j}) = 1, \text{ если } lgh_{ft_i} = lgh_{ft_j}, \text{ или } 0, \text{ если } lgh_{ft_i} \neq lgh_{ft_j}.$$

Сходство количества – это сходство между значениями (cnt_{ft_i}, cnt_{ft_j}) :

$$sim(cnt_{ft_i}, cnt_{ft_j}) = 1, \text{ если } cnt_{ft_i} = cnt_{ft_j}, \text{ или } 0, \text{ если } cnt_{ft_i} \neq cnt_{ft_j}.$$

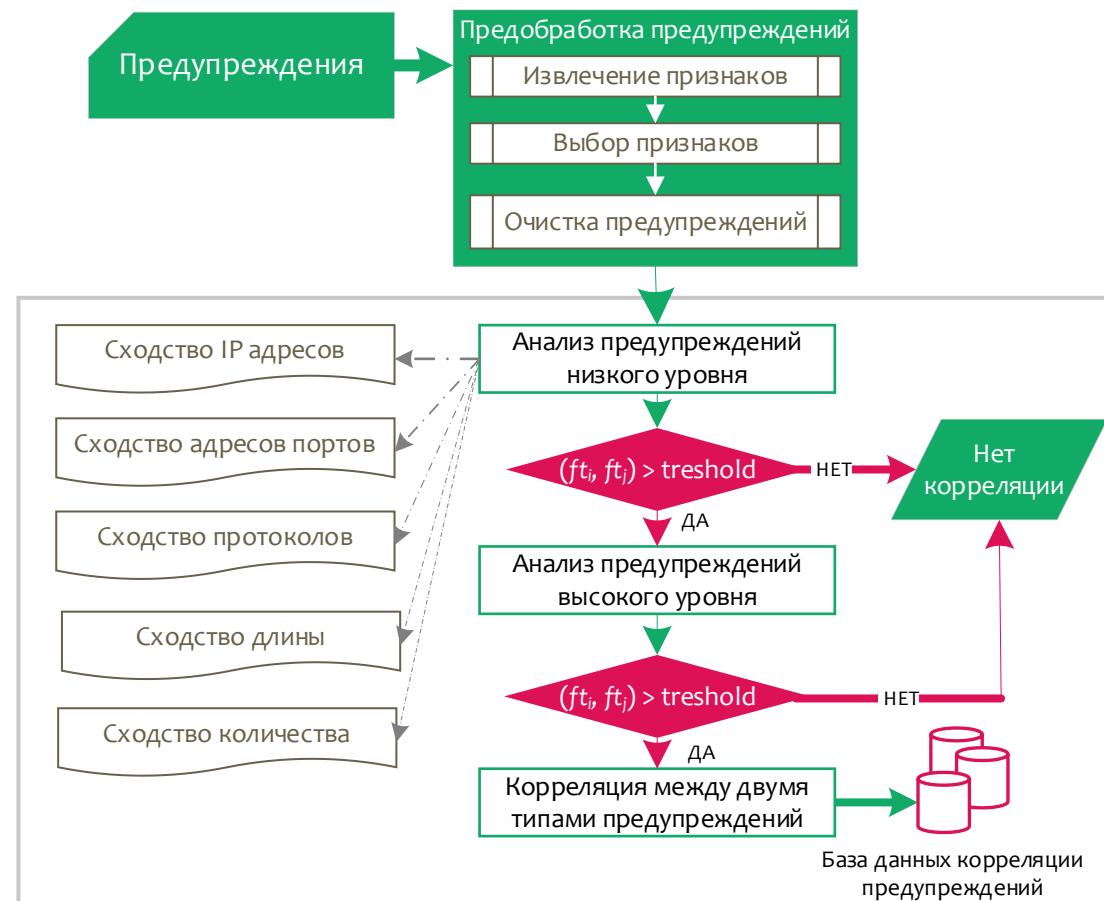
Методы корреляции на основе сходства – Модель обнаружения аномалий на основе корреляции (2/2)

Анализ предупреждений низкого уровня, обозначаемый как (Φ) , представляет собой измерение сходства между потоками трафика (ft_i, ft_j) по типам аналогичных предупреждений на основе сходства между сравниваемыми атрибутами:

$$\Phi_i(ft_i, ft_j) = \{sim(IP_{ft_i}, IP_{ft_j}), sim(port_{ft_i}, port_{ft_j}), sim(lgh_{ft_i}, lgh_{ft_j}), sim(cnt_{ft_i}, cnt_{ft_j})\}.$$

Анализ предупреждений высокого уровня, обозначаемый как (ϖ) , представляет собой измерение сходства между двумя разными типами предупреждений. Пусть (Φ_i) — первый тип оповещения, отличный от оповещения второго типа (Φ_j) , тогда значение сходства (ϖ) получается путем вычисления сходства двух типов оповещений (Φ_i, Φ_j) , путем измерения с использованием:

$$\varpi = sim(\Phi_i, \Phi_j), \text{ где } \Phi_i \neq \Phi_j$$



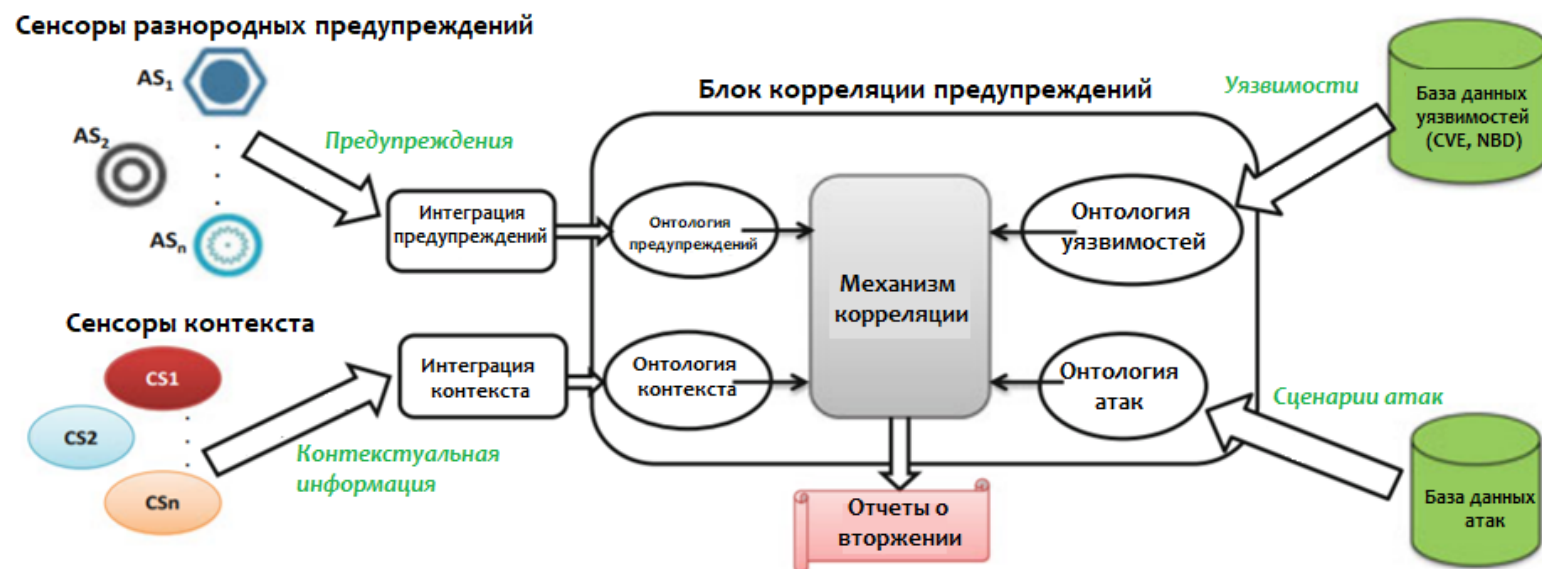
Предложенная модель Hostiadi et al. (2019)

Методы на основе сценариев:

Основанная на онтологии система корреляции предупреждений с учетом контекста

Источник: **Sadighian et al. (2013)**

1. Сбор предупреждений и контекста
2. Интеграция предупреждений и контекста
3. Заполнение онтологий
4. Корреляция предупреждений в онтологиях



- **Онтология предупреждений:** атрибуты предупреждений, такие как источник, цель, время и датчик.
- **Онтология контекста:** статическая контекстная информация (например, сетевая архитектура, профили хоста/пользователя и тип ОС) и динамическая контекстная информация (например, тип трафика, использование системы, время дня/недели).
- **Онтология уязвимостей:** уязвимости, связанные с существующими активами.
- **Онтология атаки:** известные сценарии атаки, включая общие атрибуты атаки, такие как векторы, цели и т. д.

Модель предпосылок и последствий: Реконструкция сценариев атак с учетом семантики



Предлагаемый фреймворк извлечения сценария атаки состоит из следующих пяти компонентов:

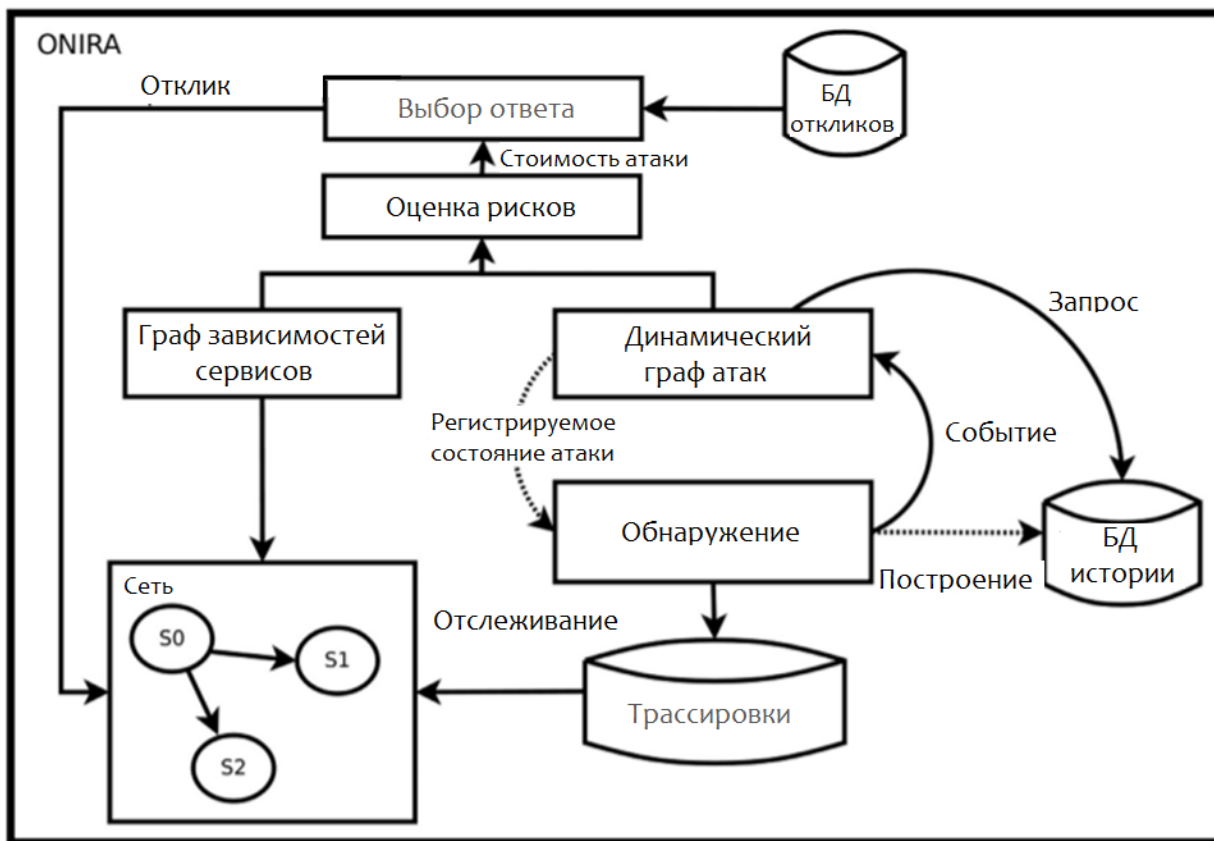
1. база знаний,
2. нормализация предупреждений,
3. проверка предупреждений,
4. агрегация предупреждений,
5. корреляция предупреждений.

Фреймворк реконструкции сценария атаки

Источник: Saad et al. (2013)

Графы и деревья атак:

Модель оценки риска вторжений на основе графов атак и зависимостей сервисов



Параметры графа атак

Параметры воздействия атаки =
{уровень знаний, влияние на КЦД¹,
частота атак,

прямое воздействие, обратное
воздействие}

Параметры графа
зависимостей сервисов

Онлайн-оценка риска вторжений распределенных трассировок с использованием архитектуры ONIRA (Online Intrusion Risk Assessment). Источник: **Shameli-Sendi et al. (2018)**

¹КЦД – конфиденциальность, целостность, доступность

Графы и деревья атак:

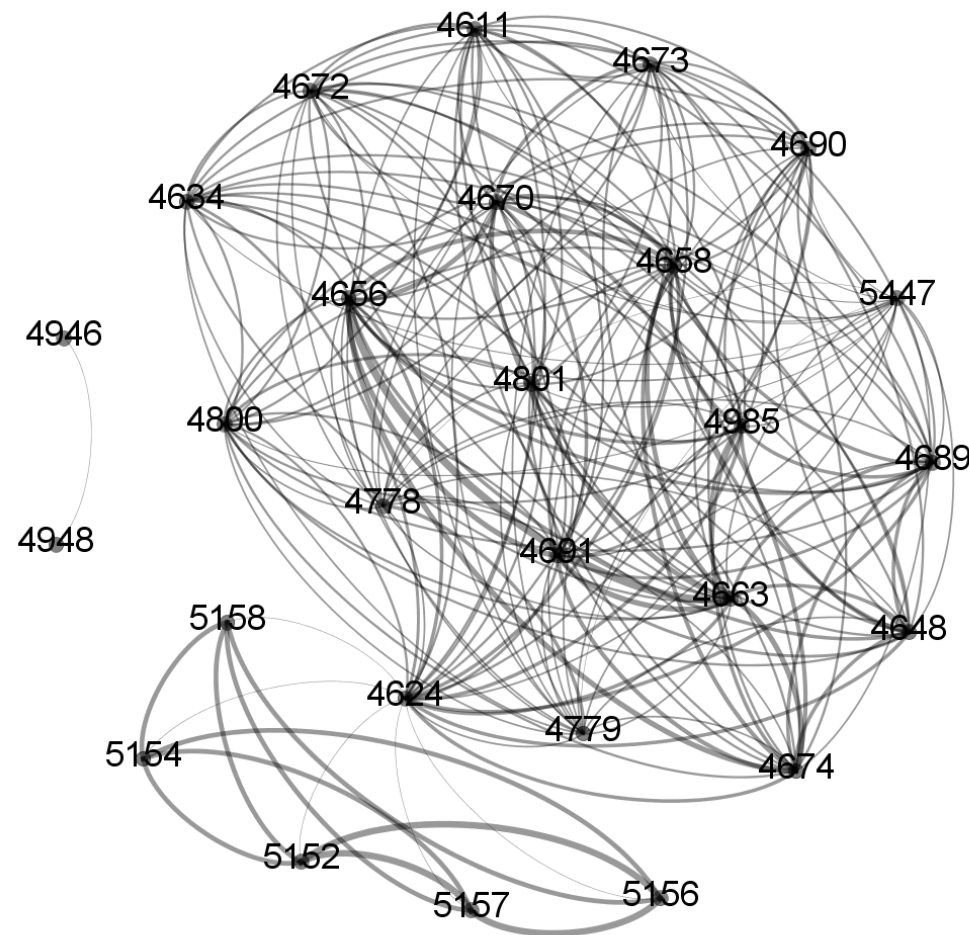
Структурный анализ событий безопасности

Источник: **Kotenko et al. (2018)**

Удельный вес (W_{abs}) связи между типами событий определяется количеством равнозначных свойств (при структурном анализе).

Относительный вес (W_{rel}) связи между событиями определяется количеством совпадающих значений равнозначных свойств в обрабатываемой паре событий.

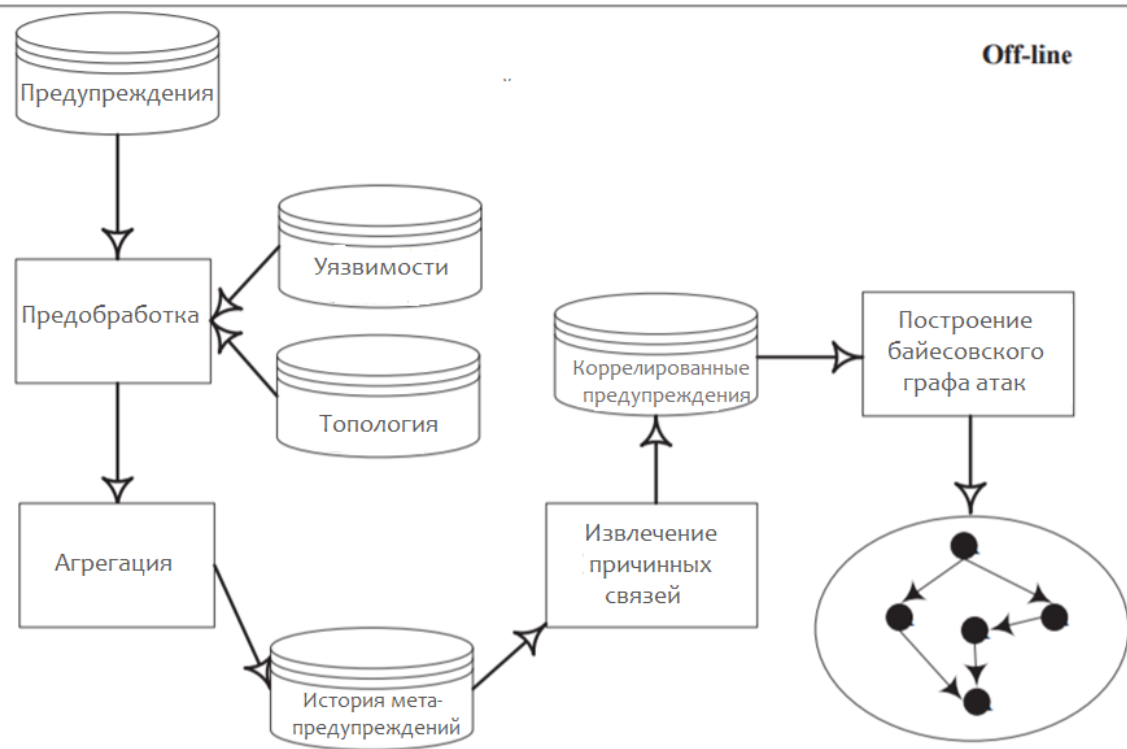
Результат выполнения корреляции над выборкой событий – получение набора пар значений: относительный вес, интервал времени (в пределах выбранного временного окна).



Статистические методы:

Корреляция предупреждений в реальном времени и прогнозирование с использованием байесовских сетей

Источник: Ramaki et al. (2015)



Предлагаемая корреляция предупреждений в автономном (офлайн) режиме



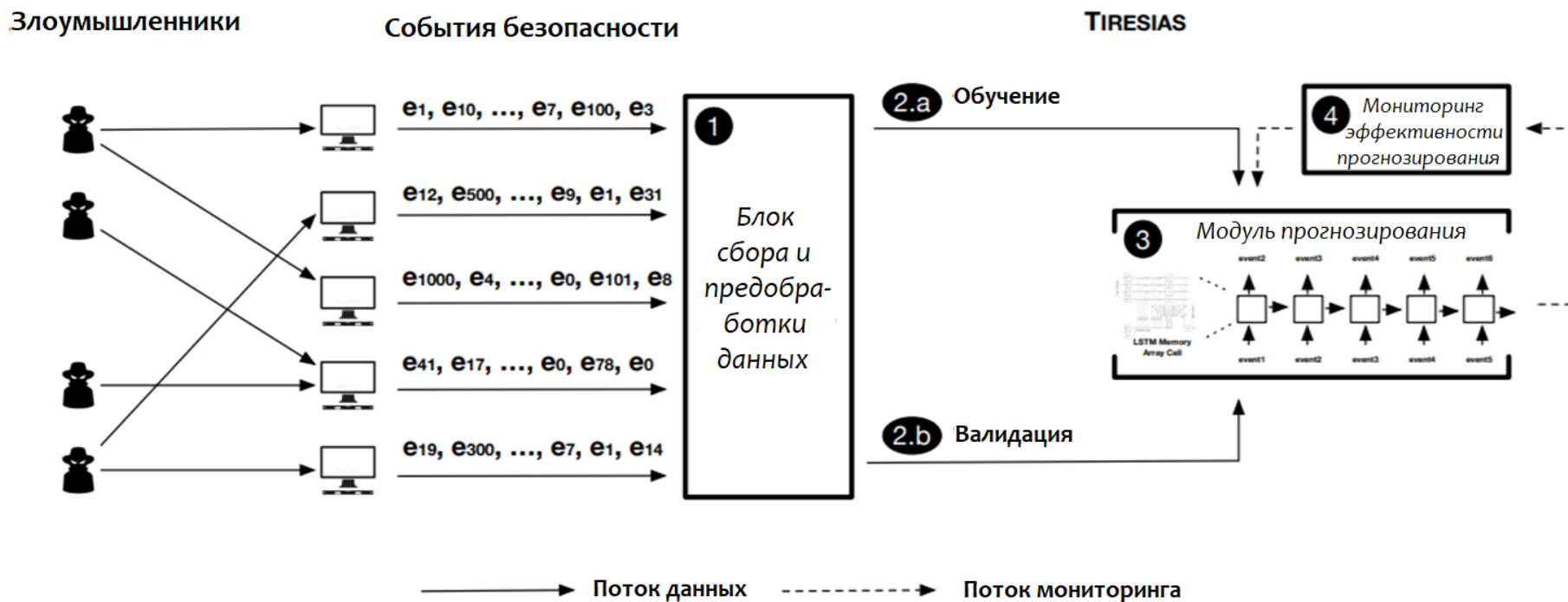
Предлагаемая корреляция предупреждений в онлайн режиме

Машинное обучение: Прогнозирование событий безопасности на основе глубокого обучения

Источник: Shen et al. (2018)

S_1 $e_{14} e_{15} \dots e_{10} e_{20} \mathbf{e_{11}} \mathbf{e_8} \mathbf{e_{12}} \mathbf{e_4} \mathbf{e_5} \dots e_{12} e_{11} e_0 \mathbf{e_3} \mathbf{e_9} e_{23} \mathbf{e_4} \mathbf{e_9} \mathbf{e_3} \mathbf{e_4} \mathbf{e_3} \mathbf{e_9} e_{23} \mathbf{e_3} \mathbf{e_9} e_{19} e_{24} e_{25} e_{26} \mathbf{e_{12}} \mathbf{e_{13}}$
 S_2 $\mathbf{e_4} e_{27} \mathbf{e_{10}} \mathbf{e_{11}} \mathbf{e_{12}} e_{25} \mathbf{e_5} e_{21} \mathbf{e_7} \dots \mathbf{e_4} e_{19} e_{30} e_{26} e_{24} e_{31} \mathbf{e_{12}}$
 S_3 $\mathbf{e_4} e_{41} \dots \mathbf{e_5} e_{22} e_{21} \mathbf{e_7} \mathbf{e_{12}} \dots \mathbf{e_9} \mathbf{e_3} \mathbf{e_9} \mathbf{e_3} \dots \mathbf{e_6} e_{23} e_{19} e_{30} e_{25} e_{24} \mathbf{e_{12}}$

Три конечные точки (S) подвергаются скоординированной атаке. {e0, ..., e13} — события, участвующие в скоординированной атаке, выделены жирным шрифтом.

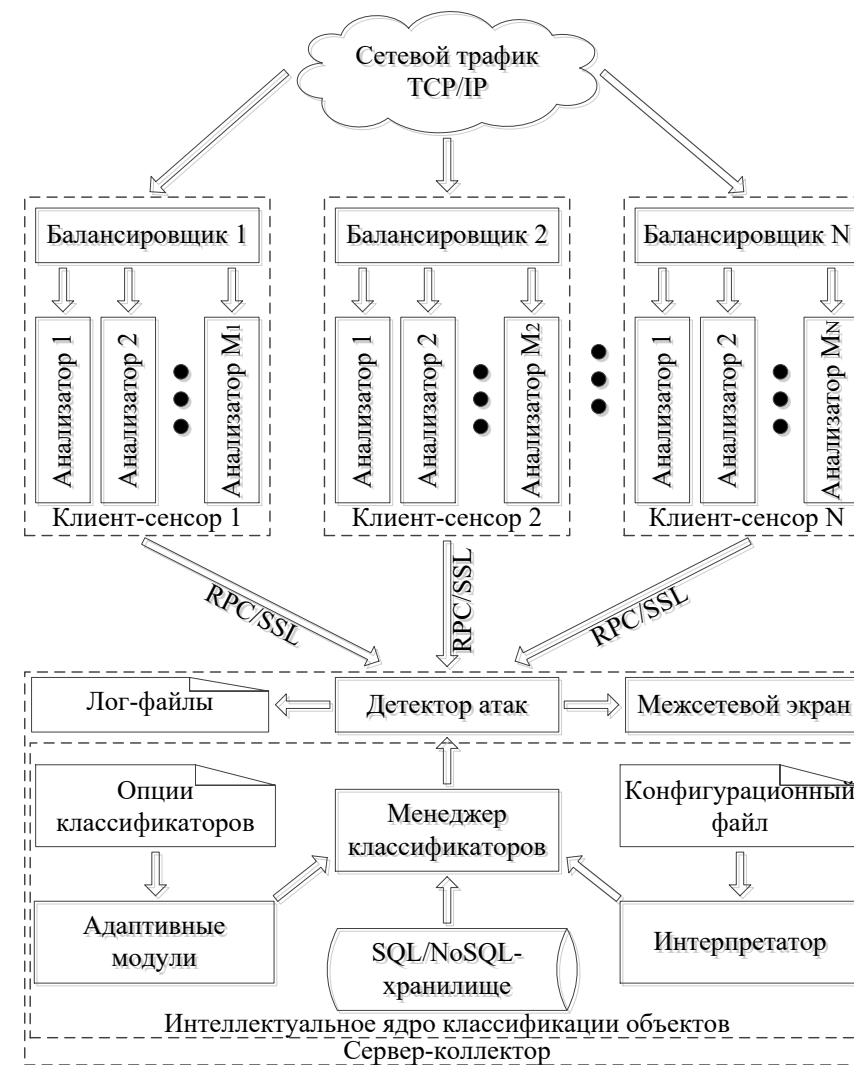


Последовательные события безопасности собираются, предварительно обрабатываются, а затем используются для построения и проверки прогностической модели. Затем оптимальная модель используется в операциях, и ее эффективность контролируется для обеспечения стабильно высокой точности прогноза.

Машинное обучение: Система обнаружения сетевых событий

Источник: **Kotenko et al. (2018)**

- Ускоренная обработка сетевого трафика и сборки TCP/IP-сессий за счет механизма преаллокации динамической памяти, fnv-хеширования сетевых соединений, встроенных балансировщиков и алгоритма обхода многократно вложенных списков с параметрами сетевых соединений
- Алгоритм вычисления статистических параметров сетевого трафика на основе метода скользящей средней
- Набор сенсоров с поддержкой нескольких параллельных модификаций алгоритмов шаблонного поиска подстроки
- Безопасный канал передачи данных между клиентскими сенсорами и сервером на основе протокола RPC, зашифрованного при помощи SSL
- Хранение обучающих выборок в нескольких форматах баз данных (MySQL, MongoDB, *.csv)

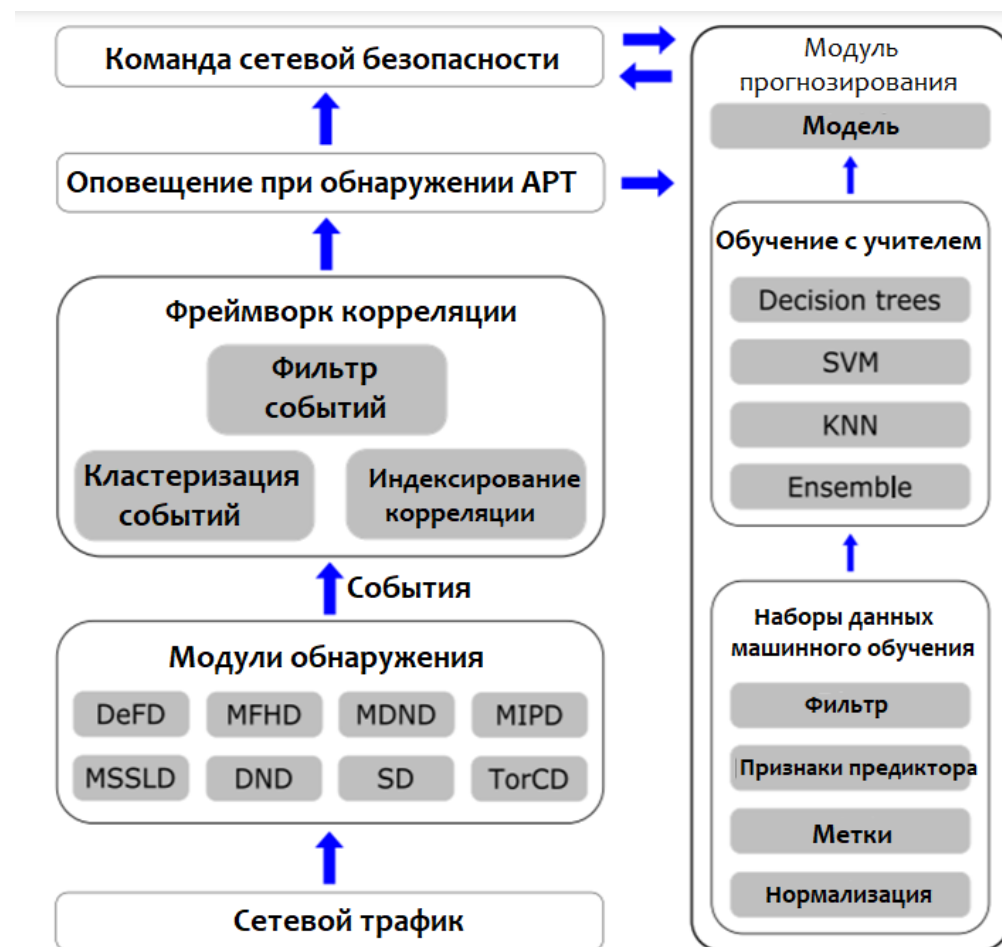


Смешанные методы корреляции: Обнаружение APT с помощью корреляционного анализа и машинного обучения

Источник: **Ghafir et al. (2018)**

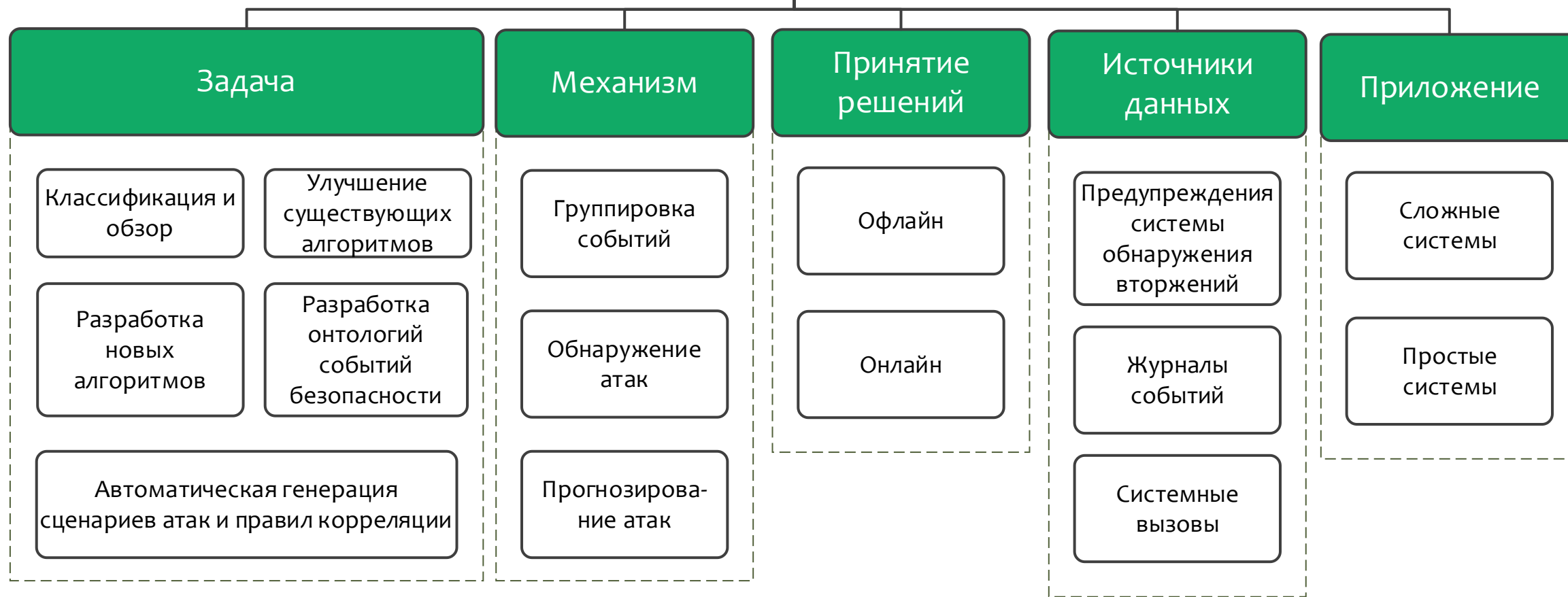
Целью **фреймворка корреляции** является поиск событий безопасности, которые могут быть связаны и принадлежать одному сценарию атаки APT: **фильтр событий** для выявления избыточных или повторяющихся событий безопасности; **кластеризация событий**, которые, скорее всего, относятся к одному и тому же сценарию APT-атаки; и **индексирование корреляции** для оценки степени корреляции между событиями безопасности каждого кластера.

Модуль прогнозирования на основе машинного обучения используется командой сетевой безопасности для определения вероятности ранних событий безопасности для развития полной APT-атаки. Это позволяет **команде сетевой безопасности** прогнозировать атаку APT на ее ранних этапах и применять необходимые процедуры, чтобы остановить ее до завершения и свести к минимуму ущерб.



Основные направления исследований

Исследования в области корреляции событий безопасности



Основные проблемы и будущие направления исследований



Спасибо за внимание!

Контактная информация

Электронная почта:

Котенко Игорь Витальевич:

ivkote@comsec.spb.ru

Гайфулина Диана Альбертовна:

gaifulina@comsec.spb.ru

Федеральное государственное бюджетное учреждение науки «Санкт-Петербургский Федеральный исследовательский центр Российской академии наук» (СПб ФИЦ РАН). 14-я линия В.О., д. 39, г. Санкт-Петербург, 199178, Россия

Работа выполнена при финансовой поддержке Гранта
РНФ № 21-71-20078 в СПб ФИЦ РАН.

